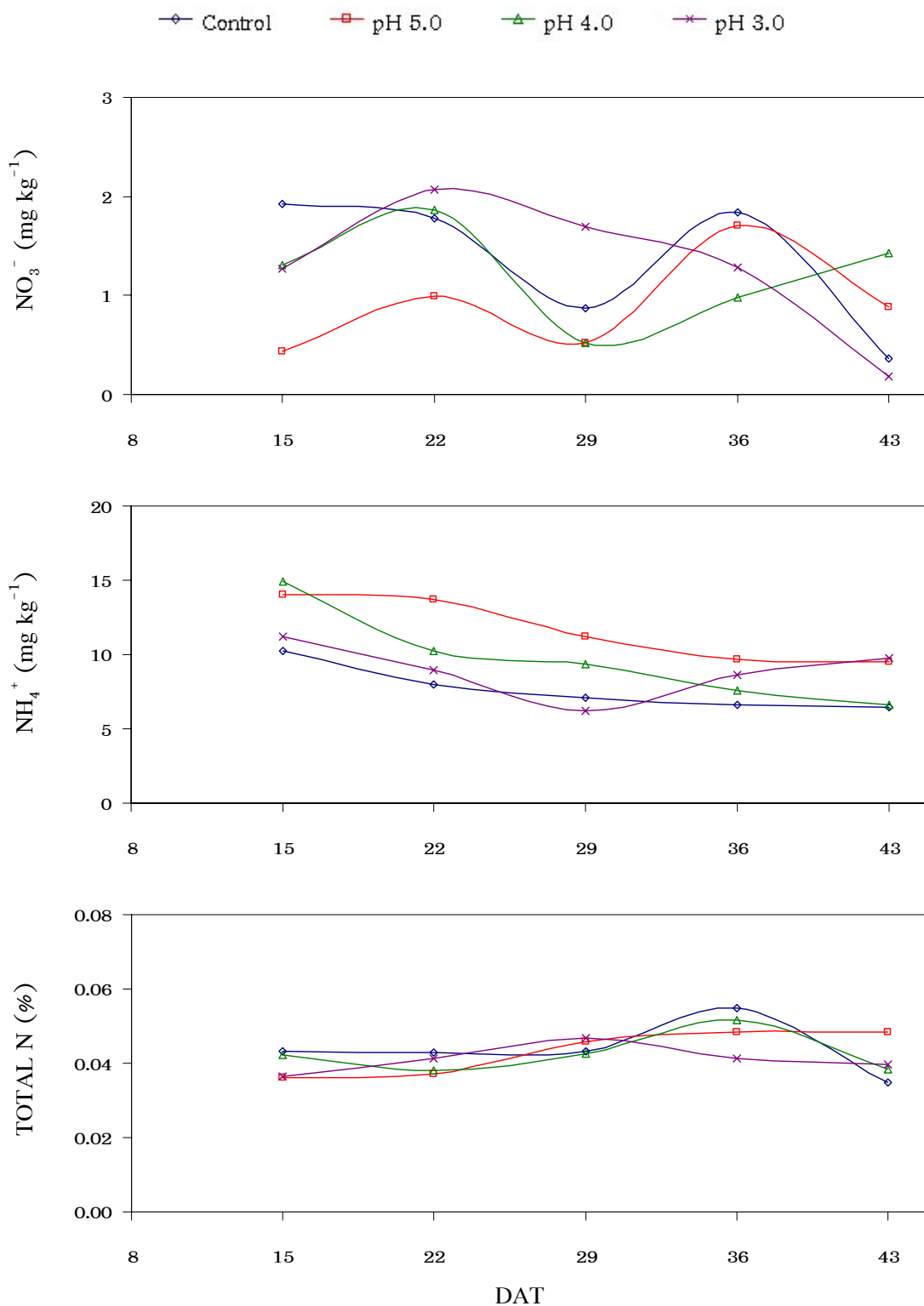
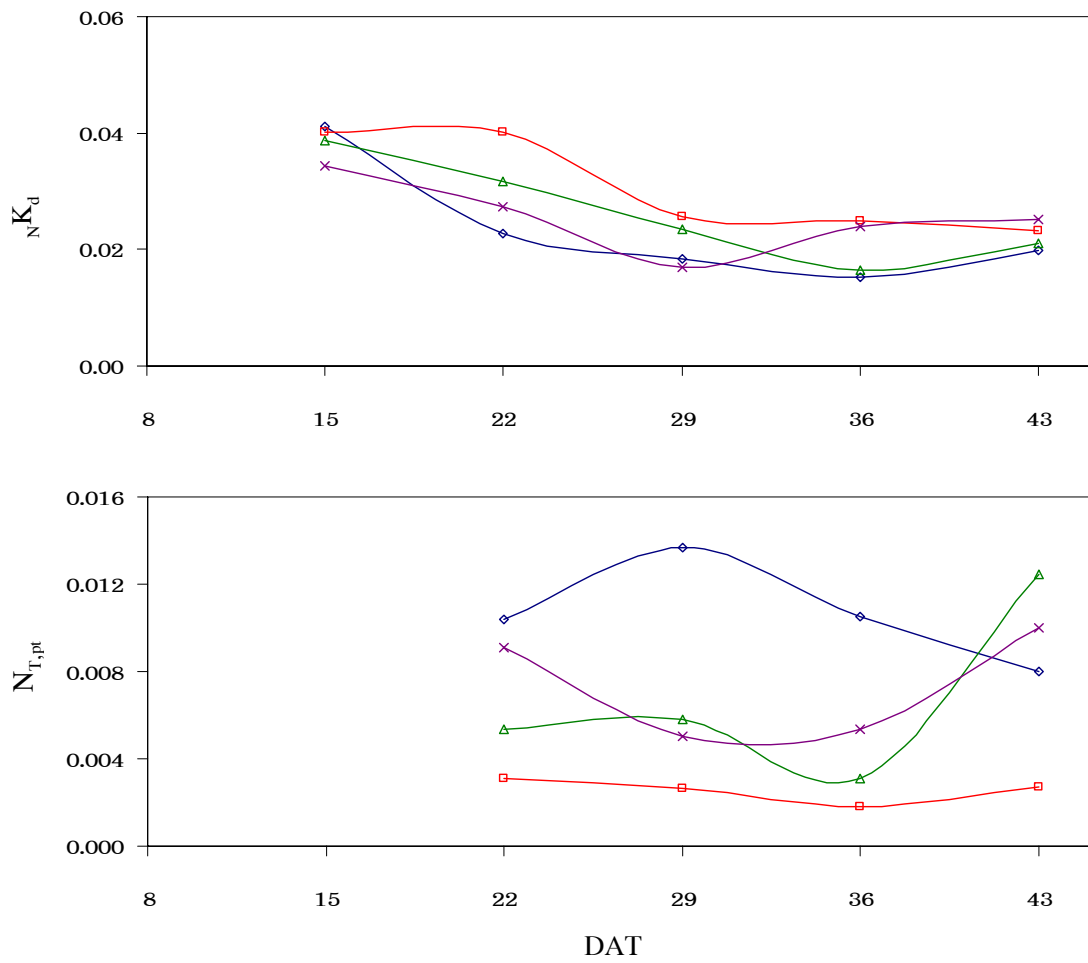


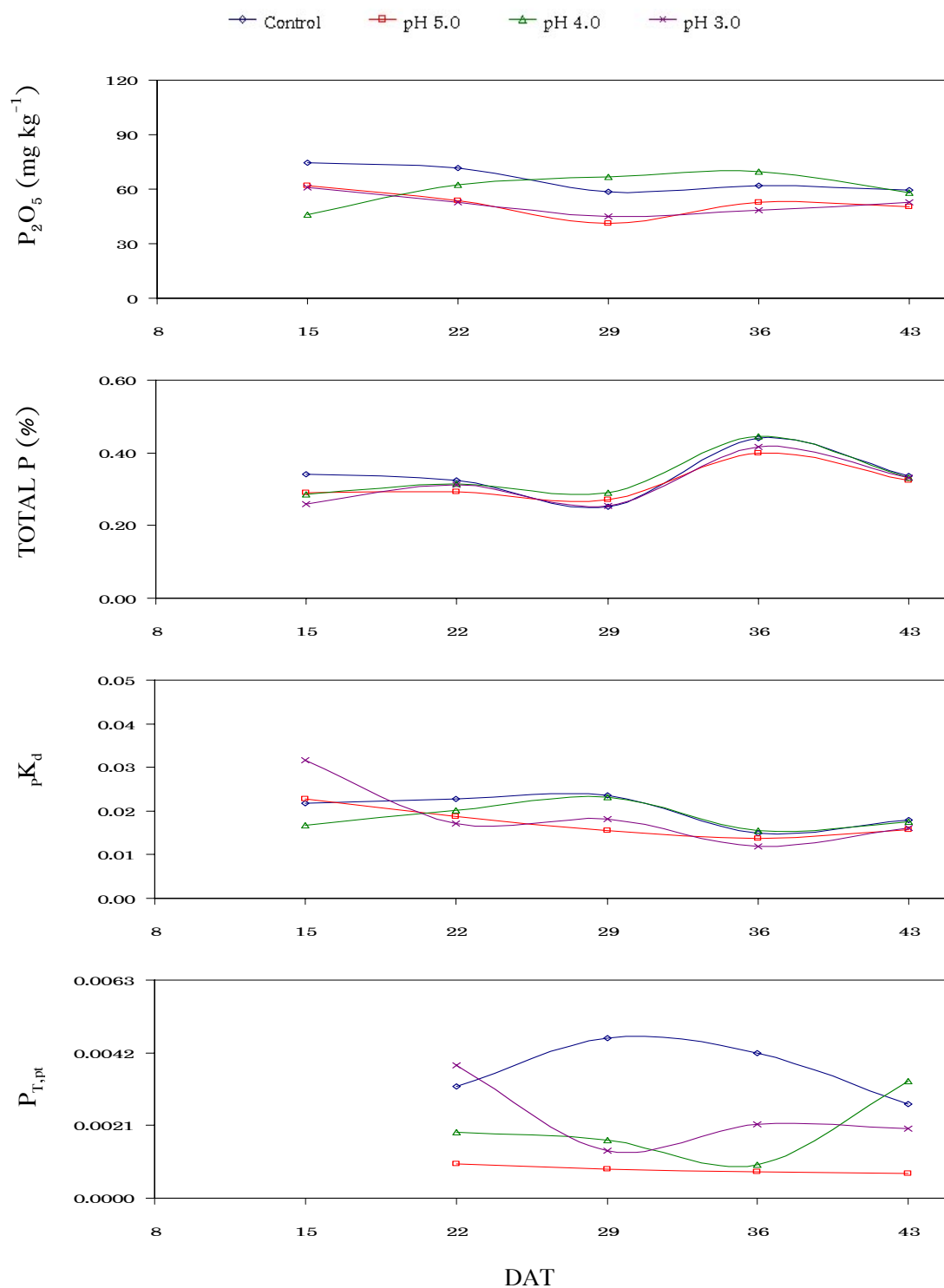
ภาพที่ 42 การเปลี่ยนแปลง pH 1:1, ECe และ OM ของชุดดินกำแพงแสนที่ระดับความลึก 0-20 cm ภายหลังจากได้รับฝนจำลองที่เกิดจากออกไซด์ของไนโตรเจนที่เวลาต่างๆ



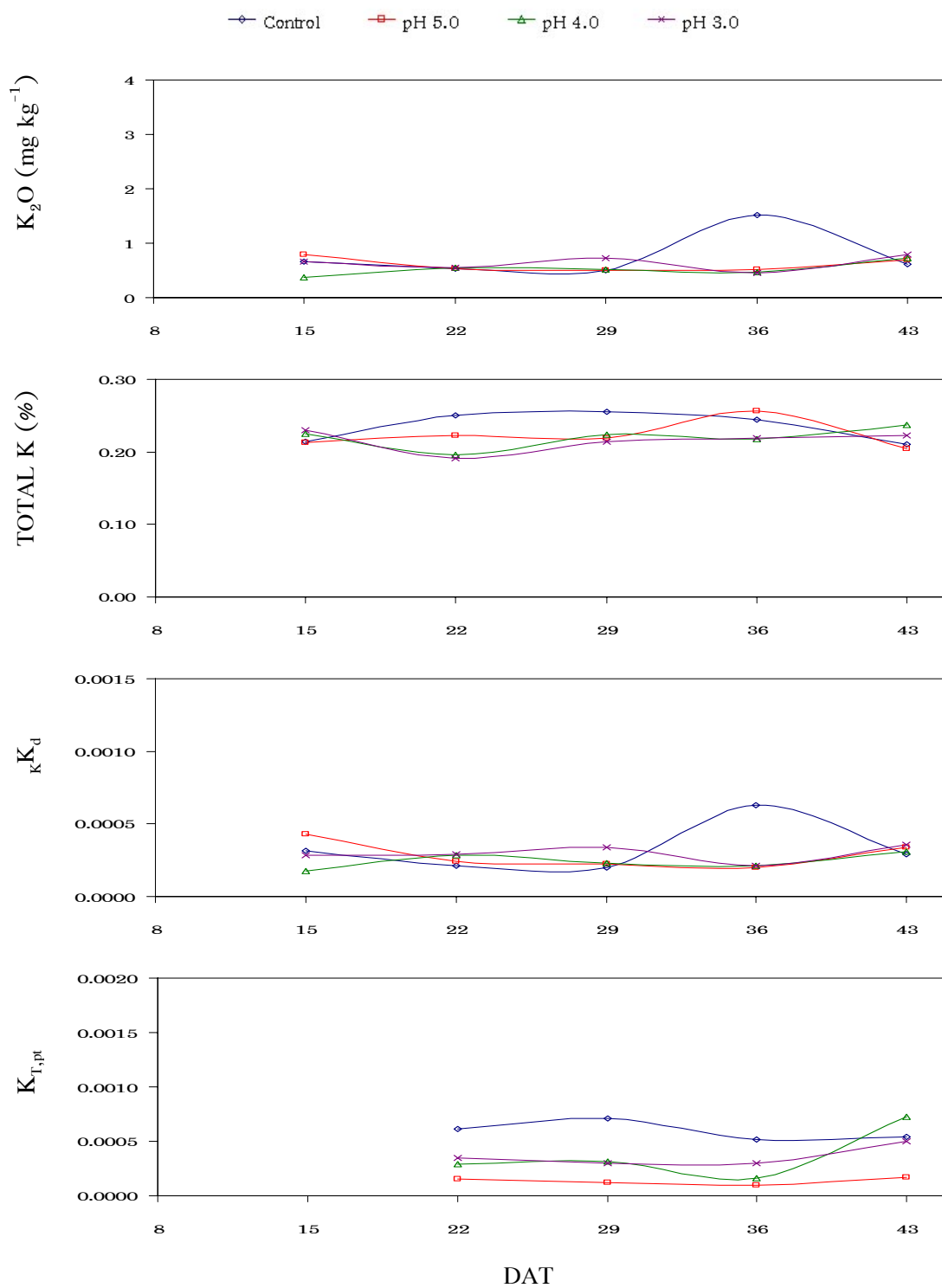
ภาพที่ 43 การเปลี่ยนแปลง NO_3^- , NH_4^+ , Total N, N_{K_d} และ $N_{T,pt}$ ของชุดดินกำแพงแสนที่ระดับความลึก 0-20 cm ภายหลังจากได้รับฝนจำลองที่เกิดจากออกไซด์ของไนโตรเจนที่เวลาต่างๆ



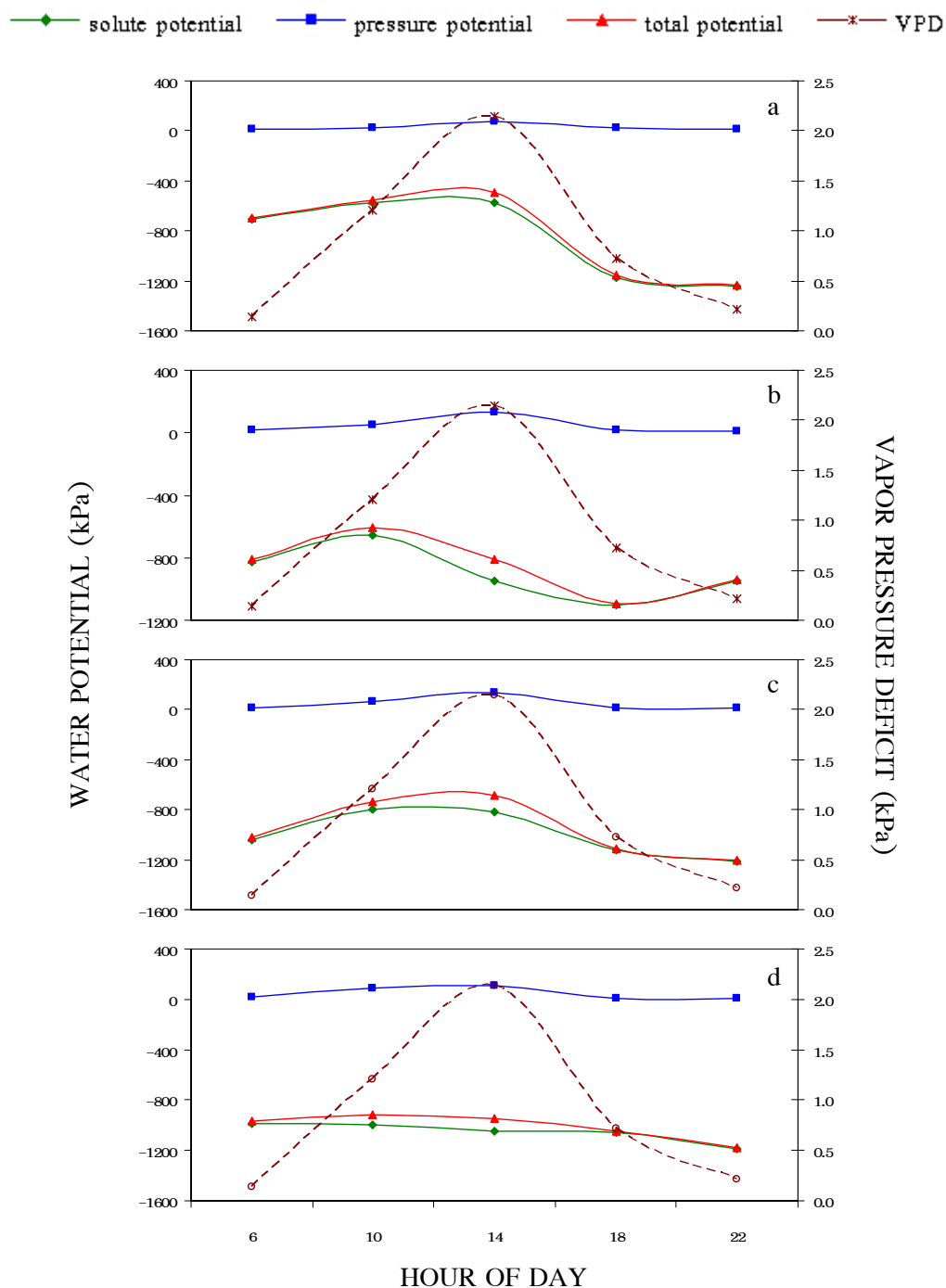
ภาพที่ 43 (ต่อ)



ภาพที่ 44 การเปลี่ยนแปลง P_2O_5 , Total P, pK_d และ $P_{T,pt}$ ของชุดดินกำแพงแสนที่ระดับความลึก 0-20 cm ภายหลังจากได้รับฝนจำลองที่เกิดจากออกไซด์ของไนโตรเจนที่เวลาต่างๆ



ภาพที่ 45 การเปลี่ยนแปลง K_2O , Total K, K_d และ $K_{t,pt}$ ของชุดดินกำแพงแสนที่ระดับความลึก 0-20 cm ภายหลังจากได้รับฝนจำลองที่เกิดจากออกไซด์ของไนโตรเจนที่เวลาต่างๆ



ภาพที่ 46 องค์ประกอบพลังงานศักย์น้ำในใบกระเจี๊ยบเขียว ศักย์น้ำรวม (total water potential) ศักย์สารละลาย (solute potential) และศักย์ความดัน (pressure potential) ในรอบวัน (6:00–22:00 น.) เมื่อได้รับฝนจำลองที่เกิดจากออกไซด์ของไนโตรเจนในตำรับทดลองควบคุม (a) ฝน pH 5.0 (b) ฝน pH 4.0 (c) และ ฝน pH 3.0 (d) ที่ปลูกในชุดดินกำแพงแสน